

Методика и программный комплекс по восстановлению характеристик анизотропных теплозащитных материалов для гиперзвуковых летательных аппаратов

В.Ф. Формалев, Е.Л. Кузнецова

Аннотация

Разработана методология и программный комплекс по численному решению обратных коэффициентных задач нелинейного теплопереноса в анизотропных материалах, используемых в качестве теплозащитных при аэрогазодинамическом нагреве гиперзвуковых летательных аппаратов (ЛА). Основными характеристиками анизотропных теплозащитных материалов при высоких температурах являются нелинейные компоненты тензора теплопроводности, которые необходимо восстановить по результатам экспериментальных замеров температур в пространственно-временных узлах. Предложенная методология основана на использовании нового экономичного абсолютно устойчивого метода переменных направлений с экстраполяцией численного решения задач теплопереноса и метода параметрической идентификации. Получены результаты по восстановлению компонентов тензора теплопроводности углерод-углеродного композиционного материала с использованием экспериментальных значений нелинейной теплопроводности этих материалов.

Ключевые слова: численное решение; обратная задача; теплоперенос; анизотропные материалы; тензор теплопроводности; композиционный материал; программный комплекс

Введение

Большинство теплозащитных материалов для гиперзвуковых летательных аппаратов (ЛА) являются анизотропными, теплопроводность которых описывается не скалярными величинами, а тензорами (матрицами) теплопроводности, компоненты

которых при высоких температурах зависят от температуры, то есть являются нелинейными.

К таким материалам относятся композиционные материалы, такие как стеклопластики, асбобластики, углерод-углеродные пластики, большинство графитов и графитосодержащих материалов. Моделирование как прямых, так и обратных задач теплопереноса в таких материалах в условиях аэрогазодинамического нагрева ЛА представляет значительные трудности по следующим причинам:

- нестационарное температурное поле является многомерным по пространственным переменным;

- вектор плотности теплового потока не ортогонален изотермам, вследствие чего все координатные направления равнозначны и невозможно выделить одно главное направление;

- дифференциальное уравнение теплопереноса содержит смешанные производные, что приводит к невозможности разделения переменных по координатным направлениям;

- сложность сохранения порядка конечно-разностной аппроксимации краевых условий, содержащих производные, присущего порядку во внутренних узлах расчетной области.

Поскольку задачи восстановления нелинейных компонентов тензора теплопроводности анизотропных теплозащитных материалов относятся к классу обратных задач теплопереноса, для которых используются решения прямых задач, то все перечисленные трудности решения прямых задач переносятся на обратные задачи. К ним добавляются следующие: сильное влияние на результаты решения обратных коэффициентных задач теплопереноса погрешностей при экспериментальном определении температур; большое число пространственных узлов с экспериментальными значениями в анизотропном теплозащитном материале (не менее девяти); сложность учета нелинейностей компонентов тензора переноса и т.п.

Обратные задачи теплопереноса для изотропных тел рассматривались ранее в работах Алифанова О.М. [1], Бека Дж.В. [2], Самарского А.А. и Вабищевича П.Н. [3]. В работе Кузнецовой Е.Л. [4] решена обратная задача теплопроводности в анизотропном полупространстве на основе аналитического решения, полученного в [5].

В данной работе предложена методология численного решения обратных коэффициентных задач теплопроводности в анизотропных теплозащитных материалах, когда компоненты тензора теплопроводности зависят от температуры.

Постановка задачи

Для
анизотропно
й полосы
(рис. 1)

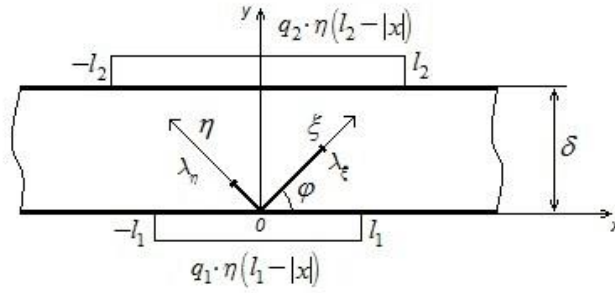


Рис. 1. Расчётная схема.

ставится следующая обратная коэффициентная задача теплопереноса по восстановлению нелинейных компонентов $\lambda_{11}(u)$, $\lambda_{12}(u) = \lambda_{21}(u)$, $\lambda_{22}(u)$ тензора теплопроводности:

$$\frac{\partial}{\partial x} \left(\lambda_{11}(u) \frac{\partial u}{\partial x} \right) + \frac{\partial}{\partial x} \left(\lambda_{12}(u) \frac{\partial u}{\partial y} \right) + \frac{\partial}{\partial y} \left(\lambda_{21}(u) \frac{\partial u}{\partial x} \right) + \frac{\partial}{\partial y} \left(\lambda_{22}(u) \frac{\partial u}{\partial y} \right) = c\rho(u) \frac{\partial u}{\partial t}, \quad x \in (-\infty; +\infty), \quad y \in (0; \delta), \quad t > 0; \quad (1)$$

$$-\left[\lambda_{21}(u) \frac{\partial u}{\partial x} + \lambda_{22}(u) \frac{\partial u}{\partial y} \right] = q_1 \cdot \eta(l_1 - |x|), \quad x \in (-\infty; +\infty), \quad y = 0, \quad t > 0; \quad (2)$$

$$\lambda_{21}(u) \frac{\partial u}{\partial x} + \lambda_{22}(u) \frac{\partial u}{\partial y} = q_2 \cdot \eta(l_2 - |x|), \quad x \in (-\infty; +\infty), \quad y = \delta, \quad t > 0; \quad (3)$$

$$u(\pm\infty, y, t) = 0, \quad \frac{\partial u(\pm\infty, y, t)}{\partial x} = 0, \quad x \rightarrow \pm\infty, \quad y \in [0, \delta], \quad t > 0; \quad (4)$$

$$u(x, y, 0) = f(x, y), \quad x \in (-\infty; +\infty), \quad y \in [0, \delta], \quad t = 0; \quad (5)$$

$$\eta(\xi) = \begin{cases} 1, & \xi > 0 \\ 0, & \xi < 0 \end{cases} \quad (6)$$

Для замыкания коэффициентной обратной задачи теплопереноса в анизотропной пластине необходимо задать экспериментальные значения температур в девяти точках (рис. 1) в зависимости от времени

$$u\left((x, y)_i, t^k\right) = \tilde{u}_{ik}, \quad i = \overline{1, 9}, \quad k = \overline{1, K_0}, \quad (7)$$

причем эти девять узлов должны напоминать девятиточечный шаблон конечно-разностной схемы, используемой для численного решения прямой задачи анизотропного теплопереноса (1)–(6).

Одним из эффективных методов решения коэффициентной обратной задачи для уравнений параболического типа вообще и анизотропного переноса потенциала в частности является *метод параметрической идентификации* [3], в котором искомые функции $\lambda_{11}(u)$, $\lambda_{12}(u)$, $\lambda_{22}(u)$, находятся в виде линейной комбинации базисных функций $N_m(u)$, задаваемых на конечных элементах – конечных отрезках Δu_m , $m = \overline{1, M}$ ($u_{\min} \leq u \leq u_{\max}$), связанных с конечно-разностной сеткой по времени, причем эти базисные функции ортогональны на отрезке $u \in [u_{\min}, u_{\max}]$.

Здесь используются линейно непрерывные базисные функции [3, 6]:

$$N_m(u) = \begin{cases} 0, & u < u_{m-1}, \\ \frac{u - u_{m-1}}{u_m - u_{m-1}}, & u_{m-1} \leq u \leq u_m, \\ \frac{u_{m+1} - u}{u_{m+1} - u_m}, & u_m \leq u \leq u_{m+1}, \\ 0, & u > u_{m+1}, \quad m = \overline{1, M}. \end{cases} \quad (8)$$

Решения обратной задачи, т.е. определение искомых характеристик тензора теплопроводности, зависящих от температуры, записываются в виде линейных комбинаций базисных функций $N_m(u)$

$$\lambda_{11}(u) \approx \sum_{m=1}^M \lambda_m^{11} \cdot N_m(u), \quad (9)$$

$$\lambda_{22}(u) \approx \sum_{m=1}^M \lambda_m^{22} \cdot N_m(u), \quad (10)$$

$$\lambda_{12}(u) \approx \sum_{m=1}^M \lambda_m^{12} \cdot N_m(u), \quad (11)$$

где коэффициенты линейных комбинаций λ_m^{11} , λ_m^{22} , λ_m^{12} подлежат определению, а M – количество блоков (конечных элементов), внутри каждого из которых находится одинаковое число шагов по времени.

Для конечно-разностной аппроксимации вводится конечно-разностная сетка по времени с шагом τ

$$\omega^\tau = \left\{ t^k = k\tau, k = \overline{0, N}, \tau = t_{\text{еoi}} / N \right\} \quad (12)$$

и пространственная сетка с шагами h_1 по переменной x и h_2 – по переменной y

$$\omega_h = \left\{ x_i = i \cdot h_1, i = \overline{0, I_0}, y_j = j \cdot h_2, j = \overline{0, J} \right\}. \quad (13)$$

Количество M временных блоков, в каждом из которых одинаковое число K_m ($m = \overline{1, M}$) шагов τ по времени, и на каждом из которых коэффициенты λ_m^s $s = 11, 22, 12$ в линейных комбинациях (9)–(11) постоянны, определим из верхней оценки функциональной невязки

$$I \cdot K_m \cdot \delta^2 \leq \varepsilon, \quad (14)$$

где $I = 9$ – число пространственных узлов с замерах температуры по времени, K_m – число временных слоев в каждом блоке, δ – погрешность экспериментальных значений \tilde{y}_{ik} (7), ε – верхняя оценка погрешности функциональной невязки, которая задается *a priori* и по достижении которой останавливается итерационный процесс.

Из (14) получаем количество K_m временных шагов τ в каждом m -м блоке, $m = \overline{1, M}$ для всех характеристик (9)–(11)

$$K_m = \frac{\varepsilon}{9 \cdot \delta^2}, \quad m = \overline{1, M}. \quad (15)$$

Если теперь весь временной промежуток $[0, t_{\text{кон}}]$ разделить на число K_m временных слоев в каждом блоке, получим количество M конечных элементов в (9)–(11), а длина Δu_m каждого конечного элемента $m = \overline{1, M}$ равна

$$\Delta u_m = \frac{u_{\text{max}} - u_{\text{min}}}{M}, \quad M = \frac{t_{\text{кон}}}{K_m}, \quad m = \overline{1, M}. \quad (16)$$

Таким образом, равномерной сетке по времени ставится в соответствие более крупная (блоковая, с числом слоев K_m в каждом блоке) сетка по времени с одинаковым числом слоев, которой, в свою очередь, ставится в соответствие неравномерная сетка по

функции u , причем эта сетка может быть построена после численного решения прямой задачи с граничными условиями второго или третьего родов, когда станет известно значение u_{\max} , а u_{\min} равно минимальному значению функции $f(x, y)$ в начальном условии (5). Для граничных условий первого рода эти значения известны и величину Δu_m можно определить *a priori* (до решения прямой задачи).

Метод определения кусочно-постоянных коэффициентов в линейных комбинациях при параметрическом представлении компонентов тензора теплопроводности

Для определения постоянных коэффициентов $\lambda_m = \{\lambda_m^{11}, \lambda_m^{22}, \lambda_m^{12}\}$, $m = \overline{1, M}$ в выражениях (9)–(11) вводится квадратичный функционал

$$S(\lambda) = \frac{1}{2} \sum_{i=1}^9 \sum_{k=1}^{K_0} [u_{i,k}(\lambda) - \tilde{u}_{i,k}]^2, \quad (17)$$

где $u_{i,k}(\lambda) \equiv u((x, y)_i, t^k, \lambda)$, в виде суммы по пространственно-временным переменным квадратов отклонения экспериментальных значений $\tilde{u}_{i,k}$ в точках $((x, y)_i, t^k)$ от расчетных, полученных численно.

В случае отсутствия экспериментальных значений в качестве последних принимаются результаты численного решения по приемлемым характеристикам $\lambda_{11}(u)$, $\lambda_{22}(u)$, $\lambda_{12}(u)$, считающихся искомыми и определяемыми косвенно через расчетные значения температур $u_{i,k}(\lambda)$, когда функционал (17) стремится к своему стационарному значению. При этом экспериментальные значения могут быть определены с относительной погрешностью δ , принимающей одно из значений множества $(0,01; 0,02, \dots, 0,1)$.

Для минимизации функционала используется *неявный* метод градиентного спуска

$$\lambda^{(n+1)} = \lambda^{(n)} - \alpha_n \text{grad } S(\lambda^{(n+1)}), \quad (18)$$

где n – номер итерации, α_n – параметрические шаги, выбираемые достаточно малыми с подчинением условию ($\alpha_n > 0$)

$$S(\lambda^{(n+1)}) < S(\lambda^{(n)}). \quad (19)$$

Если следовать условию (19), то первоначальное значение α_0 может быть выбрано произвольно, например, $\alpha_0 = 0,01$. Тогда, если в результате следующей итерации условие (19) не выполнилось, то α_n на этой итерации уменьшается в десять раз и расчет на этой итерации повторяется, в противном случае (когда (19) выполняется) для следующей итерации α_n увеличивается в десять раз.

Окончание итерационного процесса устанавливается по близости к нулю $grad S(\lambda^{n+1})$, то есть при выполнении условия

$$|grad S(\lambda^{n+1})| \leq \varepsilon, \quad (20)$$

где ε – заданная точность.

Для вычисления градиента функционала (17) с последующей подстановкой его компонентов в (18) и определения вектора $\Delta \lambda^n = \lambda^{n+1} - \lambda^n$, разложим в ряд Тейлора функцию $u_{i,k}(\lambda^{n+1})$ в окрестности λ^n , сохраняя линейные относительно $\Delta \lambda^n$ члены, получим

$$S(\lambda^{n+1}) = \frac{1}{2} \sum_{i=1}^9 \sum_{k=1}^{K_0} \left[\left(u_{i,k}(\lambda^n) + \sum_{l=1}^L \frac{\partial u_{i,k}(\lambda^n)}{\partial \lambda_l} \Delta \lambda_l^n \right) - \tilde{u}_{i,k} \right]^2. \quad (21)$$

Компоненты градиента функционала (23) имеют вид

$$\begin{aligned} \frac{\partial S(\lambda^{n+1})}{\partial \lambda_l} &= \sum_{i=1}^9 \sum_{k=1}^{K_0} \left[\left(u_{i,k}(\lambda^n) - \tilde{u}_{i,k} \right) + \sum_{k=1}^{K_0} \frac{\partial u_{i,k}(\lambda^n)}{\partial \lambda_l} \Delta \lambda_l^n \right] \\ &\cdot \left[\frac{\partial u_{i,k}(\lambda^n)}{\partial \lambda_l} + \frac{\partial}{\partial \lambda_l} \left(\sum_{l=1}^L \frac{\partial u_{i,k}(\lambda^n)}{\partial \lambda_l} \Delta \lambda_l^n \right) \right] \approx \sum_{i=1}^9 \sum_{k=1}^{K_0} \left[\left(u_{i,k}(\lambda^n) - \tilde{u}_{i,k} \right) + \sum_{l=1}^L \frac{\partial u_{i,k}(\lambda^n)}{\partial \lambda_l} \Delta \lambda_l^n \right] \\ &\cdot \frac{\partial u_{i,k}(\lambda^n)}{\partial \lambda_l}, \quad l = \overline{1, L}. \end{aligned} \quad (22)$$

где L – количество неизвестных параметров.

Представим (22) в следующей векторно-матричной форме:

$$grad S(\lambda^{n+1}) = Z^T(\lambda^n) \left(u(\lambda^n) - \tilde{u} \right) + Z^T(\lambda^n) Z(\lambda^n) \Delta \lambda^n, \quad (23)$$

где

$$Z(\boldsymbol{\lambda}^{(n)}) = \begin{pmatrix} \frac{\partial u_{11}(\boldsymbol{\lambda}^{(n)})}{\partial \lambda_1} & \frac{\partial u_{11}(\boldsymbol{\lambda}^{(n)})}{\partial \lambda_2} & \dots & \frac{\partial u_{11}(\boldsymbol{\lambda}^{(n)})}{\partial \lambda_L} \\ \frac{\partial u_{12}(\boldsymbol{\lambda}^{(n)})}{\partial \lambda_1} & \frac{\partial u_{12}(\boldsymbol{\lambda}^{(n)})}{\partial \lambda_2} & \dots & \frac{\partial u_{12}(\boldsymbol{\lambda}^{(n)})}{\partial \lambda_L} \\ \dots & \dots & \dots & \dots \\ \frac{\partial u_{I,K}(\boldsymbol{\lambda}^{(n)})}{\partial \lambda_1} & \frac{\partial u_{I,K}(\boldsymbol{\lambda}^{(n)})}{\partial \lambda_2} & \dots & \frac{\partial u_{I,K}(\boldsymbol{\lambda}^{(n)})}{\partial \lambda_L} \end{pmatrix}; \quad (24)$$

$$\mathbf{u}(\boldsymbol{\lambda}^{(n)}) - \tilde{\mathbf{u}} = \left((u_{1,1}(\boldsymbol{\lambda}^{(n)}) - \tilde{u}_{1,1}), \dots, (u_{I,1}(\boldsymbol{\lambda}^{(n)}) - u_{I,1}); \dots, (u_{I,1}(\boldsymbol{\lambda}^{(n)}) - u_{I,1}); \right. \\ \left. (u_{1,2}(\boldsymbol{\lambda}^{(n)}) - \tilde{u}_{1,2}), \dots, (u_{I,2}(\boldsymbol{\lambda}^{(n)}) - u_{I,2}) \dots, (u_{I,J}(\boldsymbol{\lambda}^{(n)}) - \tilde{u}_{I,K}) \right)^T; \quad (25)$$

$$\Delta \boldsymbol{\lambda}^{(n)} = (\Delta \lambda_1^{(n)} \Delta \lambda_2^{(n)} \dots \Delta \lambda_L^{(n)})^T. \quad (26)$$

Подставляя (23), в (18), получим

$$\Delta \boldsymbol{\lambda}^{(n)} = -\alpha_n \left[Z^T(\boldsymbol{\lambda}^{(n)}) (\mathbf{u}(\boldsymbol{\lambda}^{(n)}) - \tilde{\mathbf{u}}) + Z^T(\boldsymbol{\lambda}^{(n)}) Z(\boldsymbol{\lambda}^{(n)}) \Delta \boldsymbol{\lambda}^{(n)} \right],$$

откуда

$$\Delta \boldsymbol{\lambda}^{(n)} = -\alpha_n \left(E + \alpha_n Z^T(\boldsymbol{\lambda}^{(n)}) Z(\boldsymbol{\lambda}^{(n)}) \right)^{-1} Z^T(\boldsymbol{\lambda}^{(n)}) (\mathbf{u}(\boldsymbol{\lambda}^{(n)}) - \tilde{\mathbf{u}}). \quad (27)$$

Элементы матрицы (24) (ее можно назвать матрицей коэффициентов чувствительности) в точках $((x, y)_i, t^k)$ определяются из решения сопряженных задач относительно производных от прямой задачи (1)–(6) по каждому компоненту λ_l , $l = \overline{1, L}$ и имеют смысл коэффициентов чувствительности температуры от параметров λ_l .

Можно показать, что изложенный итерационный метод сходится к точным значениям вектора $\boldsymbol{\lambda}$ когда $n \rightarrow \infty$.

Для определения расчетных значений температур $u_{i,k}(\boldsymbol{\lambda})$, входящих в функционал (17), используется экономичный абсолютно устойчивый метод переменных направлений с экстраполяцией (МПНЭ), подробно изложенный и обоснованный в [6], а для определения элементов матрицы чувствительности (24) необходимо решить промежуточные задачи,

называемые сопряженными, относительно производных $z = \frac{\partial u}{\partial \lambda_{11}}$, $v = \frac{\partial u}{\partial \lambda_{12}}$, $w = \frac{\partial u}{\partial \lambda_{22}}$ на

каждом из отрезков $u \in [u_{m-1}, u_m]$, $m = \overline{1, M}$.

Эти задачи в количестве неизвестных z_m , v_m , w_m на каждом конечном элементе $u \in [u_{m-1}, u_m]$ по температуре формируются как производные от прямой задачи (1)–(6) по параметрам λ_m^{11} , λ_m^{12} , λ_m^{22} , $m = \overline{1, M}$, входящим в линейные комбинации (9)–(11).

Таким образом, для каждого отрезка $u \in [u_{m-1}, u_m]$ необходимо решить следующие три сопряженные задачи относительно $z_m = \frac{\partial u}{\partial \lambda_m^{11}}$, $v_m = \frac{\partial u}{\partial \lambda_m^{12}}$, $w_m = \frac{\partial u}{\partial \lambda_m^{22}}$:

$$\lambda_m^{11} \frac{\partial^2 \theta}{\partial x^2} + 2\lambda_m^{12} \frac{\partial^2 \theta}{\partial x \partial y} + \lambda_m^{22} \frac{\partial^2 \theta}{\partial y^2} - c\rho \frac{\partial \theta}{\partial t} = -\frac{\partial^2 u}{\partial r \partial q}; \quad (28)$$

$$-\lambda_m^{21} \frac{\partial \theta}{\partial x} - \lambda_m^{22} \frac{\partial \theta}{\partial y} = q_1 \cdot \eta(l_1 - |x|) + M; \quad (29)$$

$$\lambda_m^{21} \frac{\partial \theta}{\partial x} + \lambda_m^{22} \frac{\partial \theta}{\partial y} = q_2 \cdot \eta(l_2 - |x|) - M; \quad (30)$$

$$\theta(x, y, 0) = 0, \quad x \in (-\infty, \infty), \quad y \in [0, \delta], \quad t = 0, \quad (31)$$

где $\theta = \{z_m, v_m, w_m\}$; в задаче для z_m : $r = x$, $q = x$, $M = 0$; в задаче для v_m : $r = x$, $q = y$, $M = \partial u / \partial x$; в задаче для w_m : $r = y$, $q = y$, $M = \partial u / \partial y$.

Эти три задачи (28)–(31) относительно z_m , v_m , w_m на каждом отрезке $u \in [u_{m-1}, u_m]$ решаются тем же методом переменных направлений с экстраполяцией, что и прямая задача (1)–(6), что создает возможность *распараллеливания решений сопряженных задач (28)–(31)*. При этом в качестве начальных условий для последующих конечных элементов принимаются распределения температур $u(x, y, t)$ и производных z_m , v_m , w_m , полученные в конце предыдущего конечного элемента.

Программный комплекс

По изложенной методологии разработан программный комплекс численного решения обратных задач теплопроводности в теплозащитных анизотропных материалах по восстановлению нелинейных компонентов $\lambda_{11}(u)$, $\lambda_{12}(u) = \lambda_{21}(u)$, $\lambda_{22}(u)$ тензора теплопроводности, построенного по модульному принципу с возможностью подключения

на каждом промежутке $u \in [u_{m-1}, u_m]$ к трем процессорам по количеству искомым коэффициентов чувствительности $z_m = \frac{\partial u}{\partial \lambda_m^{11}}$, $v_m = \frac{\partial u}{\partial \lambda_m^{12}}$, $w_m = \frac{\partial u}{\partial \lambda_m^{22}}$, причем на промежутке $u \in [u_{m-1}, u_m]$ предварительно должна быть решена прямая задача (1)–(6), поскольку задачи (28)–(31) в существенной степени зависят от распределения $u(x, y, t)$.

На рис. 2 приведена укрупненная блок-схема программного комплекса OZTNT.

В случае, если экспериментальные данные $\tilde{y}_{i,k}$ отсутствуют (что чаще всего и случается на практике), в качестве последних принимаются расчетные значения температур $\tilde{y}_{i,k}$ в заданных пространственно-временных точках, полученные из численного решения задачи (1)–(6) по приемлемым компонентам $\lambda_{11}(u)$, $\lambda_{12}(u)$, $\lambda_{22}(u)$ тензора теплопроводности, считающихся после этого искомыми функциями. Эта процедура реализована в блоке 2.

Результаты численного решения

В качестве иллюстрации работоспособности изложенного метода и программного комплекса восстанавливаются нелинейные компоненты тензора теплопроводности углерод-углеродного композита, полученные экспериментальным путем в [7] и аппроксимируемые в помощь линейных комбинаций базисных функций $N_1(u)$, $N_2(u)$ на одном конечном элементе (линейная аппроксимация)

$$\lambda_{11}(u) = 0,0025 \cdot u = \lambda_{11}^1 N_1(u) + \lambda_{11}^2 N_2(u)$$

$$\lambda_{22}(u) = 0,0015 \cdot u = \lambda_{22}^1 N_1(u) + \lambda_{22}^2 N_2(u)$$

$$\lambda_{12}(u) = 0,000866 \cdot u = \lambda_{12}^1 N_1(u) + \lambda_{12}^2 N_2(u),$$

$$\text{где } N_1(u) = \frac{u_{\max} - u}{u_{\max} - u_{\min}}; \quad N_2(u) = \frac{u - u_{\min}}{u_{\max} - u_{\min}}.$$

Для решения прямой задачи с граничными условиями $u|_{\bar{A}} = u_{\max} = 1400K$, $u(x, y, 0) = u_{\min} = 550K$ принимались следующие входные данные:

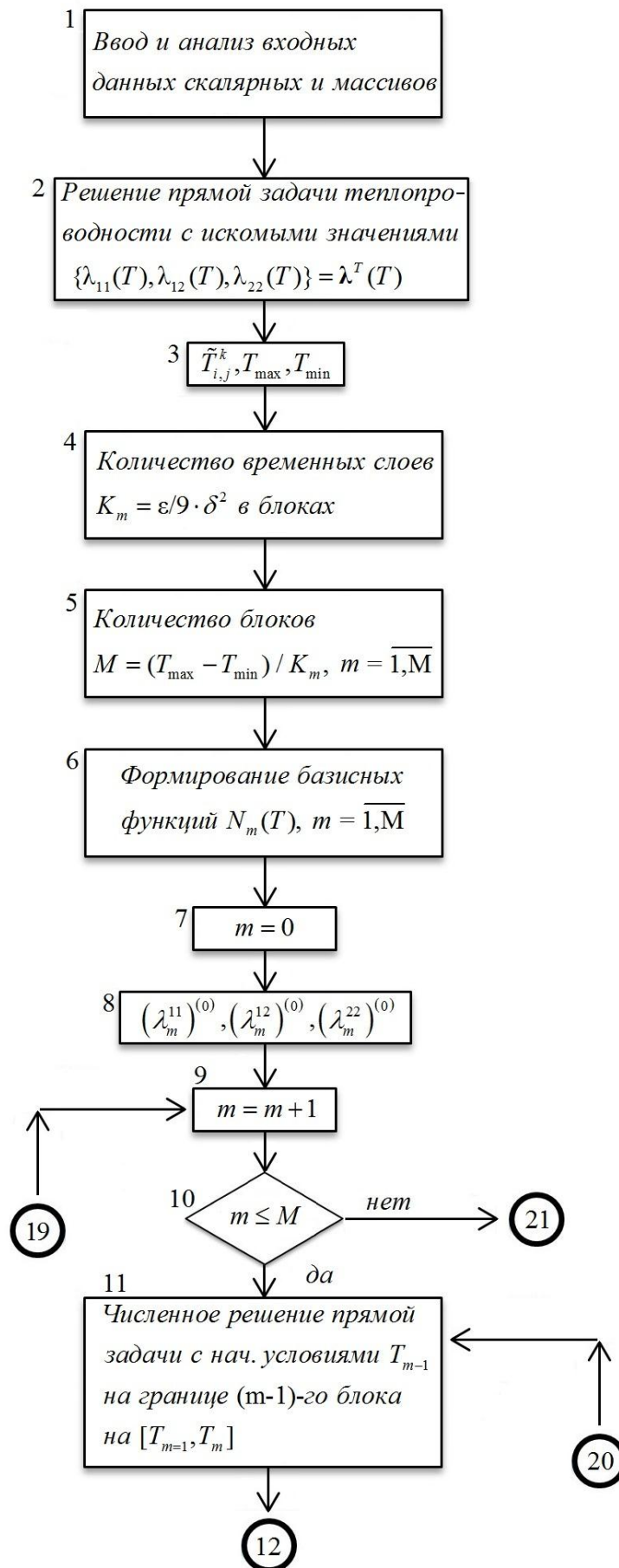


Рис.2. Блок-схема программного комплекса OZTNT.

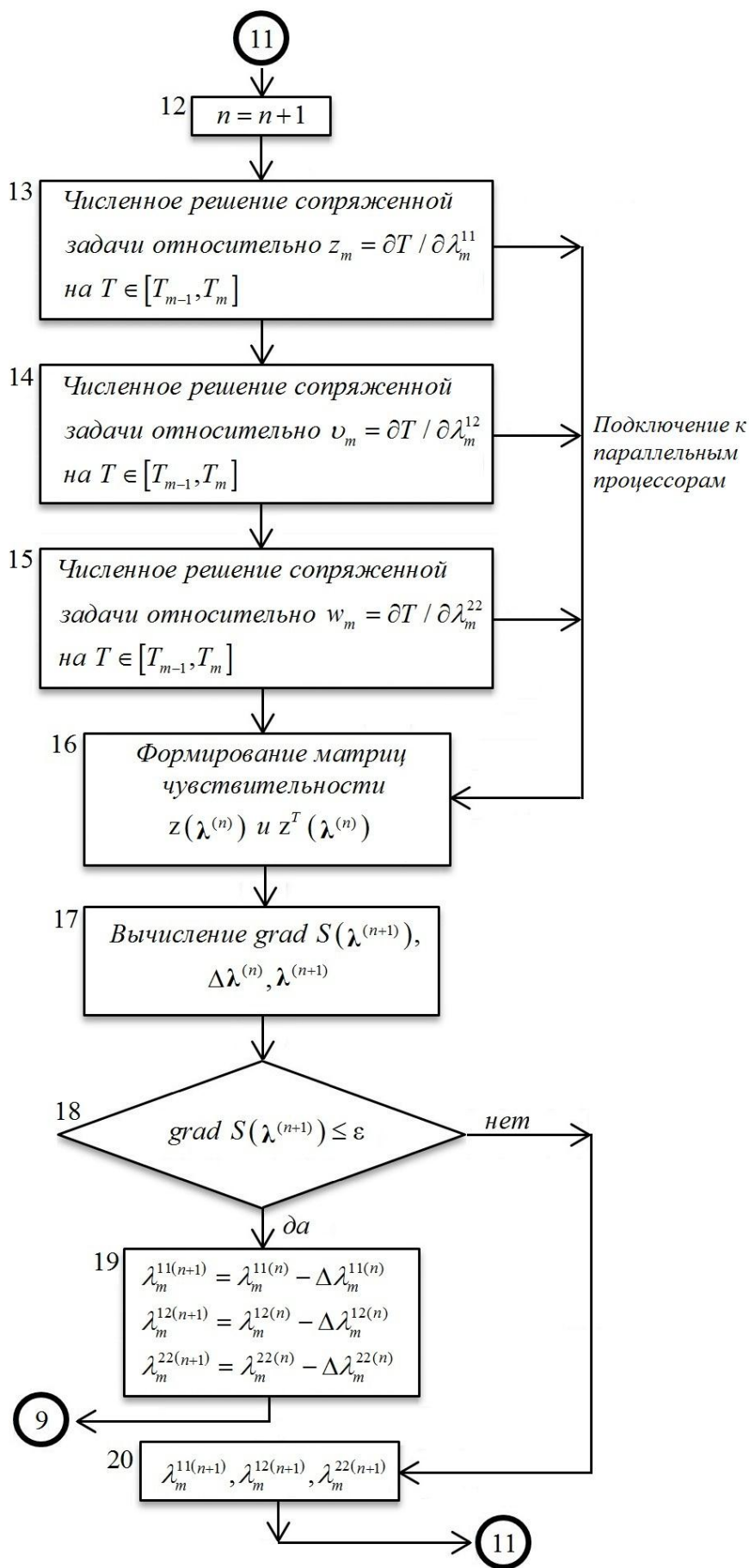


Рис.2.Продолжение

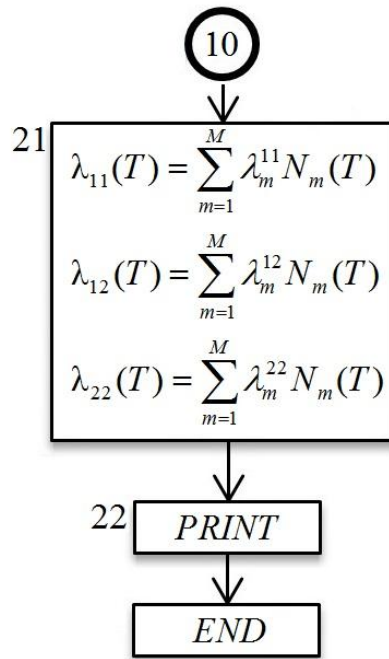


Рис. 2.Продолжение

$c\rho = 2,25 \cdot 10^6$ Дж/м³·К, $l_1 = 0,1$ м; $l_2 = 0,06$ м. Экспериментальные значения температуры слялись по этим входным данным при решении задачи (1)–(6) в точках $x_i = \{0,01; 0,05; 0,09\}$, $y_j = \{0,0025; 0,0075; 0,01\}$ в моменты времени $t^k = 35$ с, 40с, 45с, 50с. Таким образом, искомыми параметрами являются $\lambda_{11}^1, \lambda_{11}^2, \lambda_{22}^1, \lambda_{22}^2, \lambda_{12}^1, \lambda_{12}^2$.

В таблице 1 приведен итерационный процесс по восстановлению коэффициентов $\lambda_{11}^1, \lambda_{22}^1, \lambda_{12}^1, \lambda_{11}^2, \lambda_{22}^2, \lambda_{12}^2$ без погрешностей в экспериментальных данных $\tilde{y}_{i,j}^k$, а в таблице 2 – то же с абсолютной погрешностью в интервале $\Delta \in [-5^0; 5^0]$.

Таблица 1. Итерационный процесс без погрешностей в $\tilde{y}_{i,j}^k$

Номер итерации	S	λ_{11}^1	λ_{22}^1	λ_{12}^1	λ_{11}^2	λ_{22}^2	λ_{12}^2	α_n
0	1,12E+06	1	1	0	1	1	0	1
1	115443	3,23927	1,40083	0,967038	1,09177	1,69459	-0,1711	10
2	1106,93	2,74605	0,938084	0,744596	3,00184	2,05214	1,34424	10
3	21,9547	1,189	0,827484	0,439727	3,5639	2,10083	1,2009	10
4	0,154373	1,36677	0,824827	0,475127	3,5017	2,09957	1,21203	10
5	0,000167	1,37484	0,824989	0,476294	3,50002	2,09999	1,21243	10
6	5,05E-08	1,375	0,825	0,476314	3,5	2,1	1,21244	10

Таблица 2. Итерационный процесс с погрешностью в $\tilde{y}_{i,j}^k$.

Номер итерации	S	λ_{11}^1	λ_{22}^1	λ_{12}^1	λ_{11}^2	λ_{22}^2	λ_{12}^2	α_n
0	1,72E+06	1	1	0	1	1	0	1
1	151923	3,26393	1,35639	1,01665	1,08613	1,71674	-0,1307	10
2	6562,79	0,937527	0,905392	0,431408	4,00696	2,05979	1,55763	10
3	1550,78	1,30691	0,846076	0,455453	3,53964	2,09224	1,24731	10
4	1539,48	1,33133	0,846509	0,452776	3,53128	2,09431	1,25444	10
5	1539,47	1,33196	0,846568	0,452835	3,53114	2,09438	1,25444	10
6	1539,47	1,33197	0,846569	0,452836	3,53114	2,09438	1,25444	10
7	1539,47	1,33198	0,846569	0,452836	3,53114	2,09438	1,25444	10

Из таблиц 1, 2 видно, что если экспериментальные значения температур не возмущены погрешностью (таблица 1), то абсолютная погрешность в определении λ_{11}^1 , λ_{22}^1 , λ_{12}^1 , λ_{11}^2 , λ_{22}^2 , λ_{12}^2 при стационарном значении функционала S равна нулю, а наличие погрешности в $\tilde{y}_{i,j}^k$, с одной стороны, увеличивает количество итераций, а с другой – доставляет абсолютные погрешности метода при стационарном значении функционала S (таблица 2), а именно: $\Delta\lambda_{11}^1 \approx 3,1\%$; $\Delta\lambda_{22}^1 \approx 2,6\%$; $\Delta\lambda_{12}^1 \approx 4,9\%$; $\Delta\lambda_{11}^2 \approx 0,9\%$; $\Delta\lambda_{22}^2 \approx 0,3\%$; $\Delta\lambda_{12}^2 \approx 3,5\%$. Начальные значения искомым параметров значительно (в 2–3 раза) отличаются от искомым, и тем не менее итерационный алгоритм сходится с приемлемой скоростью.

На рисунке 3 приведены графики нелинейных коэффициентов тензора теплопроводности, восстановленные с учетом погрешностей в экспериментальных значениях температур $\tilde{y}_{i,j}^k$, а также приведены нелинейные коэффициенты, заложенные в экспериментальные значения $\tilde{y}_{i,j}^k$.

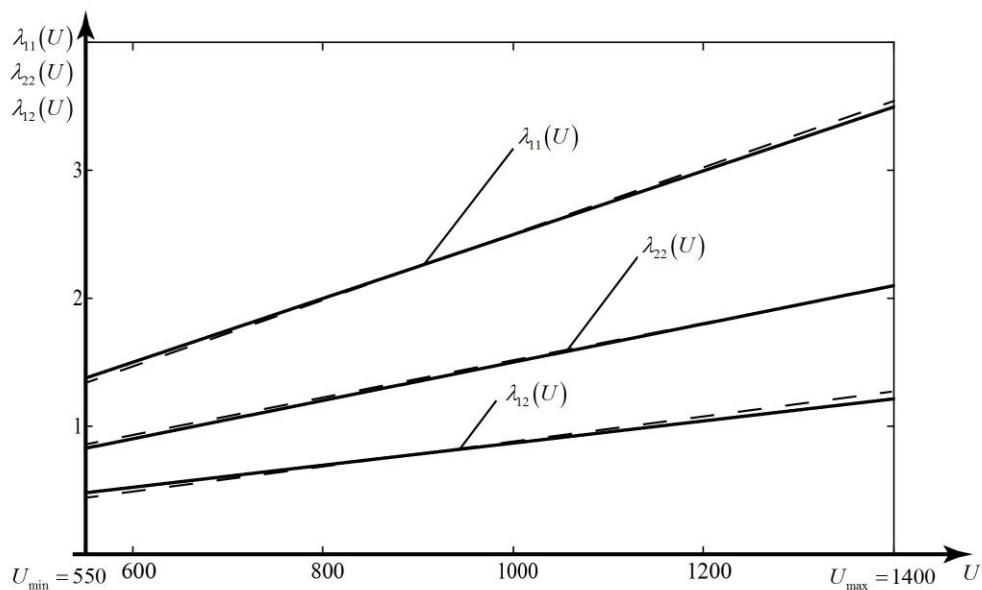


Рис. 3. Восстановленные нелинейные компоненты тензора теплопроводности при наличии погрешности $\Delta \in [-5^0; 5^0]$ в определении экспериментальных значений $\tilde{u}_{i,j}^k$ (сплошные линии – восстановленные, пунктирные – заложенные в $\tilde{u}_{i,j}^k$).

Выводы

1. Разработана методология численного решения обратных задач нелинейного теплопереноса в анизотропных материалах, используемых в качестве теплозащитных для гиперзвуковых летательных аппаратов. Методология основана на методе параметрической идентификации, неявного метода градиентного спуска и на новом экономичном абсолютно устойчивом методе переменных направлений с экстраполяцией численного решения задач теплопереноса, содержащих смешанные производные.

2. Разработан программный комплекс *OZTNT*, позволяющий восстанавливать нелинейные компоненты тензора теплопроводности, заложенные в экспериментальные значения температур и подключать параллельно процессоры в количестве неизвестных параметров.

3. Впервые полученные результаты численных экспериментов по восстановлению компонентов тензора теплопроводности углерод-углеродных композиционных теплозащитных материалов, зависящих от температуры, показали быструю сходимость итерационного процесса к точным значениям нелинейных компонентов тензора теплопроводности, заложенным в экспериментальные значения температур, включая и случаи наличия погрешностей в этих температурах.

Библиографический список

1. Алифанов О.М. Идентификация процессов теплообмена летательных аппаратов (введение в теорию обратных задач теплообмена). – М.: Машиностроение. 1979. 216с.
2. Beck J.V., Blachwell B., St. Clar C.R. Inverse Heat Conduction. Ill-posed Problems. – N-Y: A. Wiley – Interscience Publication. 1985. 308p.
3. Самарский А.А., Вабищевич П.Н. Численные методы решения обратных задач математической физики. – М.: Изд-во ЛКИ. 2009. 480с.
4. Кузнецова Е.Л. Восстановление характеристик тензора теплопроводности на основе аналитического решения задачи теплопереноса в анизотропном полупространстве // Теплофизика высоких температур. 2011. Т. 49. № 6. с. 1–8.
5. Формалев В.Ф., Кузнецова Е.Л. Тепломассоперенос в анизотропных телах при аэрогазодинамическом нагреве. – М.: МАИ-ПРИНТ. 2011. 300с.
6. Формалев В.Ф., Ревизников Д.Л. Численные методы. – М.: Физматлит. 2004. 400с.
7. Падерин Л.Я., Прусов Б.В. и др. Метод исследования теплопроводности углеродных композиционных материалов // В тр. 5-й Российской национальной конференции по теплообмену. 2010. Т. 7. С. 150–152.

Сведения об авторах

Формалев Владимир Федорович, профессор Московского авиационного института (национального исследовательского университета), д.ф.-м.н., тел. 8(495)-496-39-71, 8-905-569-44-74

Кузнецова Екатерина Львовна, доцент, Московского авиационного института (национального исследовательского университета), к.ф.-м.н, тел. 8-903-719-48-72, e-mail : lareyna@mail.ru